

УДК 532.511+517.9

## О НОВЫХ СТАЦИОНАРНЫХ И АВТОМОДЕЛЬНЫХ РЕШЕНИЯХ УРАВНЕНИЙ ЭЙЛЕРА

Е. Ю. Мещерякова

Институт гидродинамики им. М. А. Лаврентьева СО РАН, 630090 Новосибирск

Рассматриваются точные стационарные и автомодельные решения уравнений Эйлера, обладающие свойством частичной инвариантности относительно некоторой шестипараметрической группы Ли. Приведены новые примеры вихревого движения жидкости с закруткой в криволинейных каналах. Проведена классификация автомодельных решений редуцированной системы с двумя независимыми переменными, которая допускает трехпараметрическую группу растяжений, в то время как исходная система уравнений Эйлера обладает двухпараметрической группой.

Ключевые слова: уравнения Эйлера, частично инвариантные решения, линии тока, источники, стоки.

**1. Теоретико-групповая природа решения.** Рассматривается частично инвариантное решение уравнений Эйлера, описывающих вращательно-симметричное движение идеальной несжимаемой жидкости [1]. Для построения частично инвариантного решения система уравнений Эйлера записывается в цилиндрических координатах  $r, \theta, z$ . Проекция вектора скорости  $\mathbf{v}$  на соответствующие оси обозначены  $u, v, w$ . Согласно универсальному алгоритму построения частично инвариантных решений [2] вертикальная компонента скорости  $w$  является функцией двух переменных — вертикальной координаты  $z$  и времени  $t$ , в то время как две другие компоненты скорости  $u, v$  и давление  $p$  не зависят от полярного угла  $\theta$ :

$$w = w(z, t), \quad u = u(r, z, t), \quad v = v(r, z, t), \quad p = p(r, z, t).$$

Подставляя данное представление решений в систему уравнений Эйлера, записанную в цилиндрических координатах, получим систему

$$\begin{aligned} u_t + uu_r + wu_z - r^{-1}v^2 + p_r &= 0, & v_t + uv_r + wv_z + r^{-1}uv &= 0, \\ w_t + ww_z + p_z &= 0, & u_r + r^{-1}u + w_z &= 0, \end{aligned} \quad (1.1)$$

которая была исследована в [3, 4]. Из последнего уравнения (1.1) путем интегрирования ( $w_r = 0$ ) легко получить функцию

$$u = -rw_z/2 + q/r, \quad (1.2)$$

где  $q(z, t)$  — новая неизвестная функция. Из полученной переопределенной системы можно найти также компоненту скорости  $v$  [1]

$$v = r^{-1}[r^4(a + s) + r^2b - q^2]^{1/2},$$

где  $a = -w_{zt}/2 - ww_{zz}/2 + w_z^2/4$ ;  $b = q_t + wq_z$ ; функция  $s(r, t)$  определяется из решения уравнения

$$r^2(a_t + wa_z - 2w_z a) + r^2 s_t - r^2 w_z (rs_r + 4s)/2 + b_t + wb_z - w_z b + 4qa + q(rs_r + 4s) = 0.$$

При анализе (1.1) следует рассматривать несколько случаев, каждый из которых приводит к определенному классу решений, описывающих движения с закруткой. В случае  $w_{zz} \neq 0$  переопределенная система принимает вид

$$\begin{aligned} f_t + wf_z + f^2 - a &= 0, & a_t + wa_z + 4(a + \chi)f + \dot{\chi} &= 0, \\ q_t + wq_z - b &= 0, & b_t + wb_z + 2fb + 4(a + \chi)q &= 0, \end{aligned} \quad (1.3)$$

где  $f = -w_z/2$ .

Записав систему (1.3) в лагранжевых координатах, можно заметить, что она допускает точную линеаризацию. Класс решений для данного нестационарного случая и примеры возможных вихревых течений описаны в [3, 4]. В настоящей работе исследованы стационарные и автомодельные решения, соответствующие системе (1.3).

**2. Стационарные решения.** Рассмотрим стационарные решения системы уравнений (1.3), полагая  $w = w(z)$ ,  $a = a(z)$ ,  $q = q(z)$ ,  $b = b(z)$  и  $\chi = \text{const}$ . В результате приходим к системе уравнений относительно  $w$  и  $q$

$$\begin{aligned} 2ww'' - w'^2 + 4a &= 0, & wa' - 2(a + \chi)w' &= 0, \\ wq' - b &= 0, & wb' - w'b + 4(a + \chi)q &= 0. \end{aligned} \quad (2.1)$$

Отметим, что во втором уравнении переменные разделяются, и после интегрирования имеем

$$a = Cw^2/4 - \chi, \quad (2.2)$$

где  $C$  — произвольная константа интегрирования.

Подставляя полученный результат в первое уравнение системы (2.1), приходим к нелинейному дифференциальному уравнению второго порядка

$$2ww'' - w'^2 + Cw^2 - 4\chi = 0. \quad (2.3)$$

Понизим порядок данного уравнения, полагая  $w' = g(w)$ . Тогда в силу  $w'' = w'g' = gg'$  уравнение (2.3) принимает вид

$$2wgg' - g^2 + Cw^2 - 4\chi = 0.$$

Полагая далее  $g^2 = h$ , перепишем это уравнение:

$$wh\dot{h} - h - 4\chi + Cw^2 = 0.$$

Данное уравнение имеет общее решение

$$h = C_1 w - Cw^2 - 4\chi$$

или (с учетом определения  $h$ )

$$w'^2 = C_1 w - Cw^2 - 4\chi. \quad (2.4)$$

Решая уравнение (2.4), находим

$$w = \begin{cases} (C_1 \pm \sqrt{C_1^2 - 16\chi C} \sin(\sqrt{C}z - C_2\sqrt{C}))/2C, & C > 0, C_1^2 - 16\chi C \geq 0, \\ (C_1 \pm \sqrt{16\chi C - C_1^2} \text{sh}(\sqrt{|C|}z - C_2\sqrt{|C|}))/2C, & C < 0, C_1^2 - 16\chi C < 0. \end{cases} \quad (2.5)$$

В силу третьего уравнения (2.1) и выражения (2.2) четвертое уравнение (2.1) сводится к простому уравнению

$$q'' + Cq = 0,$$

решение которого имеет вид

$$q = \begin{cases} A_1 \sin(\sqrt{C} z) + B_1 \cos(\sqrt{C} z), & C > 0, \\ A_2 \operatorname{ch}(\sqrt{|C|} z) + B_2 \operatorname{sh}(\sqrt{|C|} z), & C < 0. \end{cases} \quad (2.6)$$

Получим линии тока исходя из определения  $dr/u = r d\theta/v = dz/w$  или в данном случае  $dr/u = dz/w$ , откуда следует  $w dr - u dz = 0$ . С учетом (1.2) получим  $r^2 w_z dz + 2rw dr - 2q dz = 0$  или  $d(r^2 w) - 2 d\left(\int_0^z q dz'\right) = 0$ . Тогда имеем уравнение поверхности, образованной линиями тока:

$$r^2 w - 2 \int_0^z q dz' = \text{const}. \quad (2.7)$$

Левую часть (2.7) обозначим через  $\psi(r, z)$ . Подставляя (2.5) и (2.6) в (2.7), находим зависимость  $r$  от  $z$ :

$$r^2(C_1 \pm \sqrt{C_1^2 - 16\chi C} \sin(\sqrt{C} z - C_2 \sqrt{C})) / (2C) + \\ + A_1 \cos(z\sqrt{C}) / \sqrt{C} - B_1 \sin(z\sqrt{C}) / \sqrt{C} = \text{const}; \quad (2.8a)$$

$$r^2(C_1 \pm \sqrt{16\chi C - C_1^2} \operatorname{sh}(\sqrt{|C|} z - C_2 \sqrt{|C|})) / (2C) - \\ - 2A_2 \operatorname{sh}(z\sqrt{|C|}) / \sqrt{|C|} - 2B_2 \operatorname{ch}(z\sqrt{|C|}) / \sqrt{|C|} = \text{const}. \quad (2.8b)$$

Формула (2.8a) соответствует случаю  $C > 0$ ,  $C_1^2 - 16\chi C \geq 0$ , формула (2.8b) — случаю  $C < 0$ ,  $C_1^2 - 16\chi C < 0$ . Следует отметить, что если далее упоминаются константы  $A_1, B_1$ , то речь идет о формуле (2.8a), а если  $A_2, B_2$  — о формуле (2.8b).

Линии  $\psi(r, z) = \text{const}$  являются линиями тока в меридиональном сечении. Следуя [5, 6], объединение множества уровней функции тока будем называть портретом течения. В силу большого параметрического произвола ( $C, C_i, A_i, B_i, \chi; i = 1, 2$ ) имеет место достаточно широкий класс портретов течений, представленный различными каналами с разветвлением. На рис. 1 приведены некоторые характерные портреты течения, при этом различаются случаи, когда в выражениях (2.8a), (2.8b) выбран знак “плюс” или “минус”.

Определим расход жидкости через сечение  $r = 0,6$  для выделенного криволинейного канала (рис. 1, a). Внутренняя и внешняя стенки канала задаются уравнениями  $\psi(r, z) = 11,355$  и  $\psi(r, z) = 11,155$  соответственно, где функция  $\psi$  определяется из формул (2.8). В данном случае расход равен произведению разности значений функции тока на  $\pi$ . Решая уравнения  $\psi(0,6, z) = 11,355$  и  $\psi(0,6, z) = 11,155$ , находим, что для верхней ветви канала  $z_1 = 0,660 097$  и  $z_2 = 0,692 672$ , для нижней  $z_1 = 0,384 397$  и  $z_2 = 0,417 106$ . Обозначим  $Q_1, Q_2$  расход через верхнюю и нижнюю ветви канала соответственно. Окончательно получим  $Q_1 = -0,628 319$ ,  $Q_2 = 0,628 319$ , т. е. жидкость втекает через верхний канал и вытекает через нижний, в целом обеспечивая равенство нулю расхода через заданное сечение.

Как известно, установившиеся вращательно-симметричные движения (с закруткой) идеальной жидкости можно описать с помощью уравнения Грэда — Шафранова [5–7]

$$\psi_{zz} + \psi_{rr} - \psi_r/r = r^2 G(\psi) + F(\psi), \quad (2.9)$$

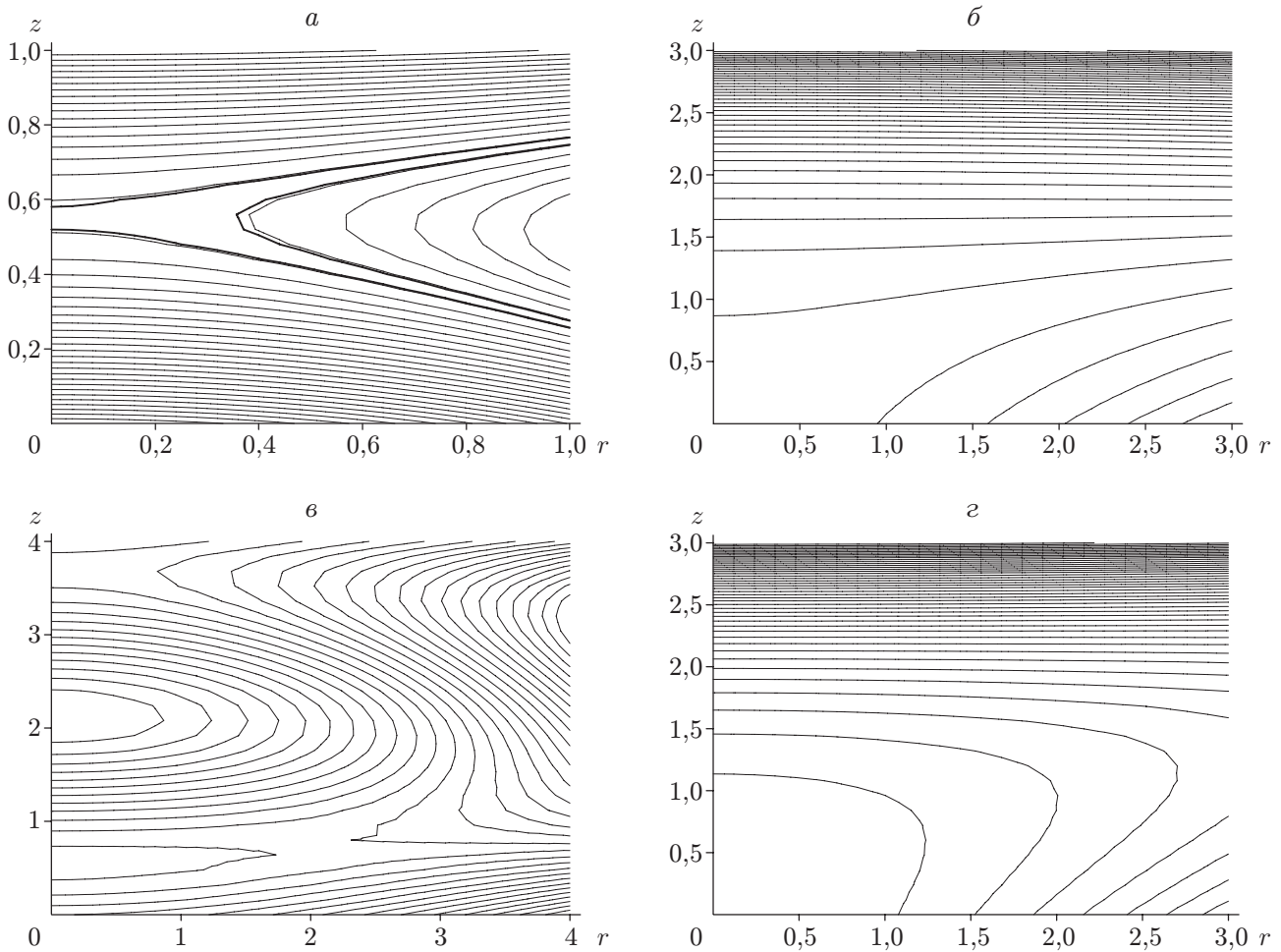


Рис. 1. Линии тока, вычисленные по формулам:

$a$  — (2.8a), знак “-”,  $б$  — (2.8б), знак “+”,  $в$  — (2.8a), знак “+”,  $г$  — (2.8б), знак “-”;  
 $a, в$  —  $C = 1, C_1 = 1, C_2 = 1, A_1 = 5, B_1 = -10, \chi = -1$ ;  $б, г$  —  $C = -1, C_1 = 1, C_2 = 2,$   
 $A_2 = 1, B_2 = 1, \chi = -1$

где  $G, F$  — произвольные функции  $\psi$ . Случаи интегрируемости уравнения (2.9) и характерные портреты течения приведены в [5–7]. Можно показать, что построенное в данной работе решение не входит ни в один из известных классов. В силу явного вида функции тока (2.8) можно ввести краткое обозначение  $\psi = r^2 a(z) + b(z)$ , подставляя которое в (2.9), получим

$$r^2 a_{zz} + b_{zz} = r^2 G(\psi) + F(\psi). \quad (2.10)$$

Обозначая  $s = r^2$  и дифференцируя (2.10) по  $s$ , приходим к уравнению

$$G(\psi) + aF_{\psi}(\psi) + asG_{\psi}(\psi) = a_{zz}.$$

Подставляя выражение для  $s$ , получаем

$$G(\psi) + aF_{\psi}(\psi) + aG_{\psi}(\psi)(b_{zz} - F(\psi))/(G(\psi) - a_{zz}) = a_{zz}. \quad (2.11)$$

Дифференцируя (2.11) по  $\psi$ , находим

$$2GG_{\psi} + a(F_{\psi}G - FG_{\psi})_{\psi} - 2a_{zz}G_{\psi} - aa_{zz}F_{\psi\psi} + ab_{zz}G_{\psi\psi} = 0.$$

Далее дифференцируем по  $z$ :

$$a_z(F_{\psi}G - FG_{\psi})_{\psi} - 2a_{zzz}G_{\psi} - (aa_{zz})_z F_{\psi\psi} + (ab_{zz})_z G_{\psi\psi} = 0.$$

Выполняя деление на  $G_\psi$  (полагая  $G_\psi \neq 0$ ) и дифференцируя по  $\psi$ , получим

$$a_z((F_\psi G - FG_\psi)/G_\psi)_\psi - (aa_{zz})_z(F_\psi\psi/G_\psi)_\psi + (ab_{zz})_z(G_\psi\psi/G_\psi)_\psi = 0.$$

Данное уравнение делим на  $a_z$  (заметим, что  $a_z$  не равно тождественно нулю, однако следует полагать  $z \neq (2C_2\sqrt{C} + \pi)/(2\sqrt{C})$ ) и дифференцируем по  $z$ . Приходим к следующему уравнению (здесь также полагаем, что величина  $((aa_{zz})_z/a_z)_z$  рассматривается в точках, в которых она не обращается в нуль):

$$\left(\frac{F_\psi\psi}{G_\psi}\right)_\psi - \frac{((ab_{zz})_z/a_z)_z}{((aa_{zz})_z/a_z)_z} \left(\frac{G_\psi\psi}{G_\psi}\right)_\psi = 0.$$

После дифференцирования по  $\psi$  данное уравнение сводится к простым дифференциальным уравнениям

$$(G_\psi\psi/G_\psi)_{\psi\psi} = 0, \quad (F_\psi\psi/G_\psi)_{\psi\psi} = 0,$$

которые, однако, не имеют решения в элементарных функциях:

$$G = \int \exp(k\psi^2 + l\psi + n) d\psi, \quad F = \int \left( \int (k_1\psi + l_1) \exp(k\psi^2 + l\psi + n) d\psi \right) d\psi,$$

где  $k, k_1, l, l_1, n$  — произвольные константы интегрирования.

Таким образом, получен новый класс стационарных частично инвариантных решений уравнений Эйлера, описывающий движения с закруткой в криволинейных каналах.

**3. Автомоделные решения.** Поскольку при построении решений из [1, 3, 4] группа растяжений не использовалась, приведем двухпараметрическую группу растяжений для (1.1)

$$X_1 = r \partial_r + z \partial_z + u \partial_u + v \partial_v + w \partial_w + 2p \partial_p, \quad X_2 = t \partial_t - u \partial_u - v \partial_v - w \partial_w - 2p \partial_p.$$

Для редуцированной системы (1.3) совместно с уравнением  $f = -w_z/2$  возникает задача групповой классификации по элементу  $\chi(t)$ , которая здесь не рассматривается. Возьмем функцию  $\chi$  в виде  $\chi = c/t^n$ , где  $c, n$  — константы. Следует отметить, что при произвольном  $n \neq 2$  система (1.3) допускает лишь тривиальное преобразование растяжения  $q \rightarrow kq, b \rightarrow kb$  ( $k = \text{const}$ ). Если  $n = 2$ , то допускаемая уравнениями (1.3) группа растяжений становится трехпараметрической, а ее генераторы имеют вид

$$Y_1 = t \partial_t - w \partial_w - f \partial_f - 2a \partial_a + q \partial_q, \quad Y_2 = z \partial_z + w \partial_w, \quad Y_3 = b \partial_b + q \partial_q. \quad (3.1)$$

Рассмотрим три оператора, которые являются линейной комбинацией операторов (3.1):  $Y_1 + \beta Y_2 + \gamma Y_3, Y_2 + \delta Y_3$  и  $Y_3$ . Заметим, что невозможно построить инвариантное решение относительно оператора  $Y_3$ , поскольку не выполнены необходимые условия его существования. В случае оператора  $Y_2 + \delta Y_3$  представление решений имеет вид ( $\delta = \text{const}$ )

$$w = -2z\varphi(t), \quad b = z^\delta \psi(t), \quad q = z^\delta \omega(t).$$

В этом случае, обозначив  $a + ct^{-2} = \pm g^2$ , перепишем систему (1.3) в виде

$$\begin{aligned} \varphi' + \varphi^2 - a &= 0, & (\pm g^2)' + 4(\pm g^2)\varphi &= 0, \\ \omega' - 2\delta\varphi\omega - \psi &= 0, & \psi' - 2\delta\varphi\psi + 2\varphi\psi + 4(\pm g^2)\omega &= 0. \end{aligned} \quad (3.2)$$

Как следует из вида системы (3.2), первые два уравнения отщепляются и интегрируются отдельно. Например, выбирая знак “минус” при  $g^2$ , находим

$$\varphi' + \varphi^2 + g^2 + c/t^2 = 0, \quad g' + 2\varphi g = 0.$$

Обозначая  $\varphi + g = \lambda, \varphi - g = \mu$ , приходим к уравнениям Риккати на функции  $\lambda$  и  $\mu$

$$\lambda' + \lambda^2 + c/t^2 = 0, \quad \mu' + \mu^2 + c/t^2 = 0.$$

Решая данные уравнения и используя определения  $\lambda$  и  $\mu$ , получаем

$$\varphi = \frac{1}{4t} \left[ 2 + \sqrt{4c-1} \left( \operatorname{tg} \left( -\frac{\sqrt{4c-1}}{2} \ln t + \frac{C_1 \sqrt{4c-1}}{2} \right) + \operatorname{tg} \left( -\frac{\sqrt{4c-1}}{2} \ln t + \frac{C_2 \sqrt{4c-1}}{2} \right) \right) \right],$$

$$g = \frac{1}{4t} \left[ \sqrt{4c-1} \left( \operatorname{tg} \left( -\frac{\sqrt{4c-1}}{2} \ln t + \frac{C_1 \sqrt{4c-1}}{2} \right) - \operatorname{tg} \left( -\frac{\sqrt{4c-1}}{2} \ln t + \frac{C_2 \sqrt{4c-1}}{2} \right) \right) \right],$$

где  $C_1, C_2$  — произвольные константы интегрирования.

Если  $a + ct^{-2} = g^2$ , то система для функций  $\varphi$  и  $g$  сводится к комплексному уравнению Риккати, которое точно решается в элементарных функциях.

Несмотря на линейность, последние два уравнения в (3.2) не имеют простого решения, поэтому здесь не рассматриваются.

Наиболее широкий класс автомодельных решений получается на группе с оператором  $Y_1 + \beta Y_2 + \gamma Y_3$ . Обозначим автомодельную независимую переменную через  $\zeta = zt^{-\beta}$ , тогда искомые функции имеют вид

$$w = \lambda(\zeta)/t^2, \quad a = \mu(\zeta)/t^2, \quad \chi = c/t^2, \quad b = \eta(\zeta)/t^\gamma, \quad q = \sigma(\zeta)/t^{\gamma-1}. \quad (3.3)$$

Выбирая  $\beta = -1$ , т. е. автомодельную переменную  $\zeta = zt$ , подставим функции (3.3) в систему (1.3):

$$2(\lambda + \zeta)\lambda'' - 2\lambda' - \lambda'^2 + 4\mu = 0, \quad (\lambda + \zeta)\mu' - 2(\lambda' + 1)(\mu + c) = 0, \quad (3.4)$$

$$(\lambda + \zeta)\sigma' - (\gamma - 1)\sigma = \eta, \quad \eta'(\lambda + \zeta) - \eta(\lambda' + \gamma) + 4(\mu + c)\sigma = 0.$$

Из второго уравнения системы следует

$$K(\lambda + \zeta)^2 = \mu + c. \quad (3.5)$$

Обозначим  $\nu \equiv \lambda + \zeta$ . С учетом того что  $\nu'' = \lambda''$ , первое уравнение (3.4) переписывается следующим образом:

$$2\nu\nu'' - \nu'^2 + 4\mu + 1 = 0.$$

В силу (3.5) имеем  $4\mu = 4K\nu^2 - 4c$ . Тогда

$$2\nu\nu'' - \nu'^2 + 4K\nu^2 + 1 - 4c = 0. \quad (3.6)$$

Для решения этого уравнения будем использовать тот же алгоритм, что и для решения (2.3). После интегрирования (3.6) получаем уравнение

$$(\nu')^2 = K_1\nu - 4K\nu^2 + 1 - 4c,$$

которое, в свою очередь, имеет решение (в силу определения  $\nu$ )

$$\lambda(\zeta) = -(8\zeta K - K_1 \pm \sqrt{K_1^2 - 64cK + 16K} \sin(2\sqrt{K}\zeta - 2K_2\sqrt{K}))/ (8K); \quad (3.7a)$$

$$\lambda(\zeta) = -(8\zeta K - K_1 \pm \sqrt{64cK - K_1^2 - 16K} \operatorname{sh}(2\sqrt{|K|}\zeta - 2K_2\sqrt{|K|}))/ (8K). \quad (3.7b)$$

Формула (3.7a) справедлива в случае  $K > 0$ ,  $K_1^2 - 64cK + 16K \geq 0$ , формула (3.7b) — в случае  $K < 0$ ,  $K_1^2 - 64cK + 16K < 0$  ( $K, K_1, K_2$  — произвольные константы интегрирования).

Последние два уравнения в (3.4) отщепляются от первых двух, однако имеют простое аналитическое решение только при  $\gamma = 1$ . В этом случае уравнения упрощаются:

$$(\lambda + \zeta)\sigma' = \eta, \quad \eta'(\lambda + \zeta) - \eta(\lambda' + 1) + 4(\mu + c)\sigma = 0.$$

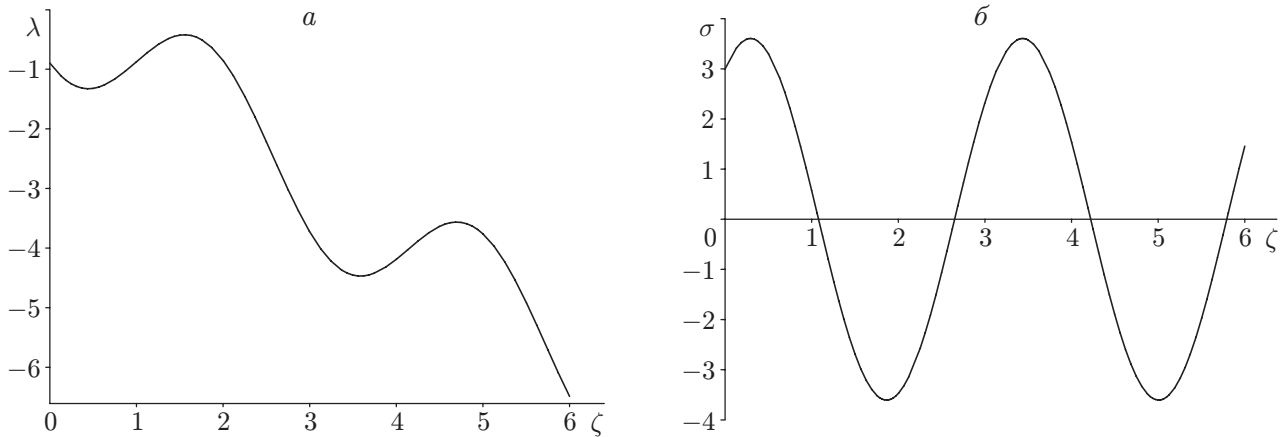


Рис. 2. Решения уравнений ( $K = 1, K_1 = 1, K_2 = 1, K_3 = 2, K_4 = 3, c = -1$ ):  
 а — (3.7а), знак “-”; б — (3.8а)

Подставляя выражения для  $\eta$  во второе уравнение и используя (3.5), приходим к простому уравнению относительно  $\sigma$

$$\sigma'' + 4K\sigma = 0,$$

решение которого имеет вид, аналогичный (2.6):

$$\sigma = K_3 \sin(2\sqrt{K}\zeta) + K_4 \cos(2\sqrt{K}\zeta), \quad K > 0; \quad (3.8a)$$

$$\sigma = K_5 \operatorname{ch}(2\sqrt{|K|}\zeta) + K_6 \operatorname{sh}(2\sqrt{|K|}\zeta), \quad K < 0. \quad (3.8б)$$

На рис. 2 приведены зависимости  $\lambda(\zeta)$  и  $\sigma(\zeta)$  для конкретных значений параметров.

Следует отметить, что в случае  $\gamma = 1$  функция  $q$  (плотность источников или стоков) совпадает с функцией  $\sigma$ . Поэтому полученное решение можно рассматривать как движение, индуцированное распределенными на оси  $z$  источниками и стоками, которые расположены с периодом  $\pi t^{-1}$ . Пространственный период стремится к нулю при  $t \rightarrow \infty$ , что означает концентрацию вихреисточников на оси симметрии.

Автор выражает благодарность В. В. Пухначеву за постановку задач, обсуждение и ценные замечания.

## ЛИТЕРАТУРА

1. **Pukhnachov V. V.** An integrable model of nonstationary rotationally symmetrical motion of ideal incompressible liquid // *Nonlinear Dynamics*. 2000. N 22. P. 101–109.
2. **Овсянников Л. В.** Групповой анализ дифференциальных уравнений. М.: Наука, 1978.
3. **Пухначев В. В.** Новый класс точных решений уравнений Эйлера // *Докл. РАН*. 2002. Т. 382, № 6. С. 777–780.
4. **Мещерякова Е. Ю.** Точные решения уравнений вращательно-симметричного движения идеальной несжимаемой жидкости // *ПМТФ*. 2002. Т. 43, № 3. С. 66–75.
5. **Капцов О. В.** Стационарные вихревые структуры в идеальной несжимаемой жидкости // *Журн. эксперим. и теорет. физики*. 1990. Т. 98, № 2. С. 532–541.
6. **Андреев В. К., Капцов О. В., Пухначев В. В., Родионов А. А.** Применение теоретико-групповых методов в гидродинамике. Новосибирск: Наука. Сиб. отд-ние, 1994. С. 174–186.
7. **Бэтчелор Дж.** Введение в динамику жидкости. М.: Мир, 1973. С. 667–679.

Поступила в редакцию 30/XII 2002 г.